

## 사이토카인 생산에 미치는 생지황메탄올추출물의 효과

채병숙<sup>#</sup> · 신태용

우석대학교 약학대학

(Received March 3, 2006; Revised May 26, 2006)

## Effect of Fresh Rehmanniae Radix Methanol Extracts on the Production of Cytokines

Byeong Suk Chae<sup>#</sup> and Tae Yong Shin

College of Pharmacy, Woosuk University, Wanju-Gun, Jeonbuk 565-701, Korea

**Abstract** — We investigated the effect of fresh Rehmanniae radix methanol extracts (RGMeOH) on the *in vitro* production of cytokines by splenocytes and peritoneal macrophages isolated from C57BL/6 mice. Peritoneal macrophages and splenocytes were incubated with various concentrations of RGMeOH in the presence of 10 µg/ml of lipopolysaccharide (LPS) or 1 µg/ml of concanavalin A (Con A) for cytokine assay. These results showed that RGMeOH remarkably attenuated LPS-increased production of TNF-α but not IL-6 by peritoneal macrophages and enhanced LPS-stimulated production of IL-10 in a dose-dependent manner. RGMeOH significantly augmented the LPS- or Con A-stimulated production of IL-2 and IFN-γ by splenocytes. These findings suggest that RGMeOH may attenuate inflammatory responses through down-regulation of TNF-α and up-regulation of IL-10, and that RGMeOH may up-regulate cell-mediated immune responses through increase in IL-2 and IFN-γ production.

**Keywords** □ Rehmanniae radix, TNF-α, IL-6, IL-10, IL-2, IFN-γ

지황(*Rehmannia glutinosa* Libosch)은 우리나라, 중국 및 일본 등 각지에서 재배하는 현삼과(Scrophulariaceae)에 속하는 다년초로서 근경을 약용으로 하고 있으며, 조혈작용, 자운작용 및 소염효과가 있는 보음제로써 전통치료요법에 널리 사용되어왔다. 지황은 혈전용해작용,<sup>1)</sup> 세망내피계의 탄소제거능 활성화<sup>2)</sup> 및 혈당강하작용을 갖는 것으로 알려졌으며,<sup>3)</sup> 최근 연구에 의하면 지황은 급성 신기능 저하 및 당뇨병성 신장장애에 있어서 저하된 신기능을 개선하였고,<sup>4,5)</sup> 숙지황은 골다공증 골 손실을 억제하였으며,<sup>6)</sup> 지황의 성분인 catalpol은 허혈성 뇌 손상에 대한 보호효과를 지니는 것으로 나타났다.<sup>7,8)</sup>

항염증효과 및 면역생물학적 효과에 있어서, 지황은 PGE<sub>2</sub> 생산에 관여하는 백혈구의 cyclooxygenase 활성을 억제하였으며,<sup>9)</sup> 생쥐의 신경교성세포에 의한 TNF-α 및 IL-1의 분비를 억제하여 뇌기능을 개선하였고,<sup>10)</sup> 숙지황은 compound 48/80으로 유도한 비만세포의 즉시형 알러지반응을 억제하였으며,<sup>11)</sup> 또한 암진행

생쥐에서 T 세포의 세포독성이 지황에 의해 증가되는 것으로 관찰되었다.<sup>12)</sup>

지황은 생지황, 건지황 및 숙지황 등으로 분류되고 있고, 각각 약리적 활성의 차이를 보이고 있으며, 전통치료요법에서도 지황의 종류에 따라 그 임상활용을 달리하여 왔다.<sup>13,14)</sup> 특히 생지황은 지황 중 약성이 가장 차고 소염작용이 강하며 통통과 종창을 경감시키는 효능이 높은 것으로 알려져 있다.

그러나 염증반응에 있어서 TNF-α, IL-1β 및 IL-6 등과 같은 proinflammatory cytokine의 과생산 또는 TNF-α와 같은 proinflammatory cytokine과 IL-10 및 transforming growth factor-β와 같은 anti-inflammatory cytokine과의 불균형 등은 병태적 염증반응의 활성과 매우 유관한 것으로 알려져 있지만,<sup>15)</sup> 이와 관련된 생지황의 효과에 대해서는 거의 연구된 바가 없다. 또한 IL-2 또는 IFN-γ은 자연형과민반응 및 마크로파지의 활성화를 중재하며, helper T(Th)1 세포의 분화 및 기능을 강화시키며, 암에 대한 감시기능 및 감염에 대한 저항력을 높이며, 알러지반응을 억제하는 등 세포성 면역반응 증진에 중요한 역할을 하는데,<sup>16,17)</sup> IL-2 및 IFN-γ 생산능에 미치는 생지황의 영향에 대해 매우 불확실한 상태로 남아있다.

\*본 논문에 관한 문의는 저자에게로  
(전화) 063-290-1426 (팩스) 063-290-1567  
(E-mail) cbse@woosuk.ac.kr

따라서 본 연구는 항염증효과 및 세포성 면역효과에 있어서 생지황의 효과를 밝히고자 복강 마크로파지 및 비장세포의 cytokine의 *in vitro* 생산에 미치는 생지황메탄올추출물(RGMeOH)의 영향에 대한 실험을 실시하였고 이에 유의성 있는 결과를 얻었기에 이를 보고하는 바다.

## 실험 방법

### 실험동물

생후 6주령 체중 17~21g의 암컷 C57BL/6 생쥐를 대한실험동물센타에서 분양 받아 온도  $23\pm2^{\circ}\text{C}$ , 습도 50~60%로 유지되는 항온·항습 사육장에서 시판사료(제일사료 제품: 조단백질 22.5% 이상, 조지방 35.0% 이상, 조섬유 7.5% 이하, 조회분 10.0% 이하, 칼슘 0.7% 이상)로 1주간 급식시켜 적응시킨 후 사용하였다.

### 생지황메탄올추출물의 조제

생지황(한약유통)를 잘게 썰어서 그 100g을 100% methanol에 넣고 24시간 충분히 담가 놓은 다음  $50^{\circ}\text{C}$ 의 수욕상에서 3시간 환류 냉각 추출하여 여과하였다. 이 여액을 서서히 감압농축동결 건조시켜 생지황메탄올추출물(RGMeOH)을 얻고, 이 추출물을 dimethyl sulfoxide(Sigma Co., Ltd., U.S.A.)에 용해시켜 RPMI 1640 medium(Gibco Lab. Co., Grand Island, N.Y., U.S.A.)를 이용해 각 농도로 희석하여 사용하였다.

### 비장세포 부유액의 조제

비장을 생쥐로부터 무균적으로 적출하여 RPMI 1640 medium으로 조심스럽게 분쇄한 후 nylon mesh로 여과하여 큰 세포덩어리를 제거하였으며,  $4^{\circ}\text{C}$  1300 rpm에서 7분간 원심분리하여 상동액을 제거 후 155 mM ammonium chloride, 15 mM sodium bicarbonate 및 1 mM EDTA를 포함하는 lysing buffer(pH 7.3) 용액에 부유시켜 5분간 정착하여 적혈구를 용해시켰다. 이 비장세포 부유액은 RPMI 1640 medium로  $4^{\circ}\text{C}$ 에서 3회 원심세척한 후, 비장세포 농도  $1\times 10^6 \text{ cells/ml}$ 가 되도록 RPMI 1640 complete medium(10% fetal bovine serum, 10 U/ml of penicillin G 및 10  $\mu\text{g/ml}$  of streptomycin 함유)에 부유시켰다. 또한 매 실험 때마다 비장세포의 생존율 검사를 trypan blue exclusion method로 다음과 같이 실시하였다. 시험관에 0.3 ml의 세포부유액을 넣은 후 0.1 ml의 trypan blue dye 용액을 가하여 5분 경과시킨 다음, 백혈구 계산관에서 무색인 생세포와 청색으로 염색된 사세포 수를 측정한 후 그 백분율을 계산하였다.

### 복강 마크로파지의 분리

멸균한 3%의 thioglycollate 2 ml를 복강에 주사하여 3일 후

마취 하에서 경추탈골시켜 복강에 한냉 phosphate-buffered saline(이하 PBS: Gibco Lab. Co., Grand Island, N.Y., U.S.A., pH 7.4) 10 ml를 주입한 다음 충분히 마사지를 하여 복강세포를 수집하였다. 수집한 복강세포 혼탁액을  $4^{\circ}\text{C}$ , 1300 rpm에서 7분간 원심분리하고 RPMI 1640 medium에 2회 세척한 다음 직경 120 mm petri dish에 분주하여  $37^{\circ}\text{C}$ , 5%  $\text{CO}_2$  배양기에서 2시간 배양하였으며, 부착되지 않은 세포를 제거하고 부착한 세포만을 cell scraper로 모아 복강 마크로파지로 분리하였다. 복강 마크로파지는 RPMI 1640 complete medium에 부유시켜 사용하였다.

### 세포배양에 의한 cytokine의 유도

RPMI 1640 complete medium에 부유시킨 비장세포( $1\times 10^6 \text{ cells/well}$ ) 및 복강 마크로파지( $1\times 10^6 \text{ cells/well}$ )를 각각 24 well plate에 분주하고, vehicle 및 RGMeOH의 최종농도가 0.01, 0.10, 및 1.00 mg/ml가 되도록 각각 처리하였다. 복강 마크로파지의 TNF- $\alpha$ , IL-6 및 IL-10의 생산을 유도하기 위하여 최종농도 10  $\mu\text{g/ml}$ 인 LPS(Escherichia coli Serotype 026: B6, Sigma Co., Ltd., U.S.A.)를 동시처리하고  $37^{\circ}\text{C}$ , 5%  $\text{CO}_2$  배양기에서 6시간 또는 24시간 배양하였고, 비장세포의 IL-2 및 IFN- $\gamma$ 의 생산을 유도하기 위해서는 10  $\mu\text{g/ml}$ 인 LPS 또는 1.0  $\mu\text{g/ml}$ 인 Con A를 동시처리하고 48시간 배양하였으며 그로부터 얻은 배양액은 cytokine 측정 때까지  $-70^{\circ}\text{C}$ 에 보관하였다.

### Cytokine의 측정

복강 마크로파지 및 비장세포 배양액 중 cytokine의 농도측정은 cytokine monoclonal antibodies(BD Biosciences Pharmingen, U.S.A.)를 이용하여 ELISA(enzyme-linked immunosorbent assay) 방법으로 실시되었고, ELISA microplate reader(Molecular Devices Co., Ltd., U.S.A.)를 사용하여 450 nm에서 2배수로 흡광도는 측정되었다. 각 결과는 ml당 picogram 단위에서 정량하였으며 최저농도의 한계는 5 pg/ml 이상으로 하였다.

### 통계학적 분석

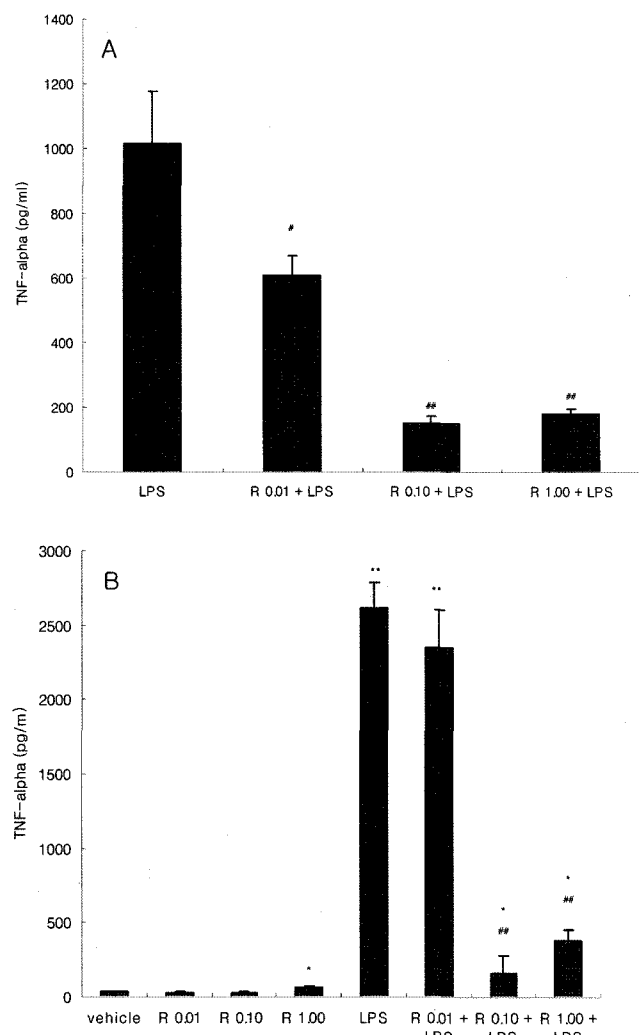
모든 자료는 means  $\pm$  standard error(S.E.)로 나타냈으며, 유의성 검사는 students' *t*-test로 행하였다.

## 실험결과 및 고찰

### RGMeOH의 항염증효과

본 연구에서 생쥐로부터 얻은 복강 마크로파지에 염증반응을 강력히 유도하는 LPS 처리 시 proinflammatory cytokine(TNF- $\alpha$ , IL-6) 및 anti-inflammatory cytokine(IL-10)의 생산에 미치는 RGMeOH의 영향에 대하여 *in vitro*에서 관찰하였다.

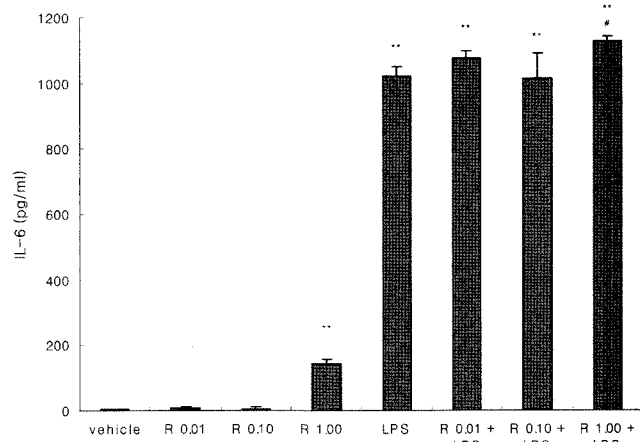
본 연구에서 사용된 RGMeOH의 여러 농도에서 MTT assay로 BALB/c 생쥐로부터 얻은 비장세포증식률을 측정한 결과, 대조군에 비하여 RGMeOH 0.01, 0.10 및 1.00 mg/ml 농도에서 각각 112.06%, 110.78% 및 127.77%로 나타났으며 따라서 세포독성은 관찰되지 않았다.



**Fig. 1 – Effect of RGMeOH on the LPS-induced production of TNF- $\alpha$  by macrophages.** RGMeOH : fresh Rehmannia glutinosa Libosch methanol extracts. Each R0.01, R0.10 and R1.00 means 0.01, 0.10 and 1.00 mg/ml of RGMeOH concentration, respectively. Peritoneal exudates macrophages from C57BL/6 mice were harvested by peritoneal lavage with ice-cold sterile physiological saline 3 days after *i.p.* injection of mice with 3 ml of sterile 3% thioglycollate broth. Macrophages ( $1.0 \times 10^6$  cells/well) were incubated in the presence or absence of various RGMeOH concentration with or without 10  $\mu$ g/ml of LPS treatment for 6 h (Fig. 1A) or 24 h (Fig. 1B). Cytokine levels were measured using ELISA method. Each value represents the mean  $\pm$  S.E. \*( $p < 0.05$ ) and \*\*( $p < 0.01$ ): Significantly different from the value in each vehicle-treated group. #( $p < 0.05$ ) and ##( $p < 0.01$ ): Significantly different from the value in each LPS-treated group.

RGMeOH가 LPS에 의해 유도된 TNF- $\alpha$  생산에 대해 억제효과를 갖는지를 알아보기 위하여 복강 마크로파지에 LPS 존재하에서 RGMeOH를 여러 농도로 동시처리하여 6시간 또는 24시간 동안 배양한 후 배양액의 TNF- $\alpha$  농도를 측정하였다. 그 결과, TNF- $\alpha$  생산은 LPS 단독처리 후 6시간에 강력히 유도되었으나, LPS와 함께 RGMeOH를 0.10 또는 1.00 mg/ml 농도로 동시에 처리함으로써 각각 85.4% 또는 82.2%까지 현저하게 억제됨을 보여주었다(Fig. 1A). 마찬가지로, 24시간 동안 배양 시, TNF- $\alpha$  생산은 LPS에 의해 현저히 유도되었으나 LPS에 의해 유도된 TNF- $\alpha$ 의 생산은 RGMeOH 0.10 및 1.00 mg/ml 농도에서 각각 93.8% 및 85.4%까지 현저히 억제되었다(Fig. 1B). TNF- $\alpha$ 는 세균감염에 따른 염증반응에 있어서 다른 염증성 사이토카인에 비하여 중추적 역할을 하는 proinflammatory cytokine으로써 LPS에 의해 강력히 유도된다. 또한 LPS로 유도되는 TNF- $\alpha$  생산을 억제 또는 중화함으로서 염증반응 활성의 저해에 따른 생명보호효과를 지니는 것으로 잘 알려져 있다.<sup>15)</sup> 따라서 RGMeOH는 LPS에 의한 마크로파지의 TNF- $\alpha$ 의 생산을 강력히 억제시킴으로써 염증반응의 활성저하에 따른 항염증효과를 지닐 것으로 사료된다.

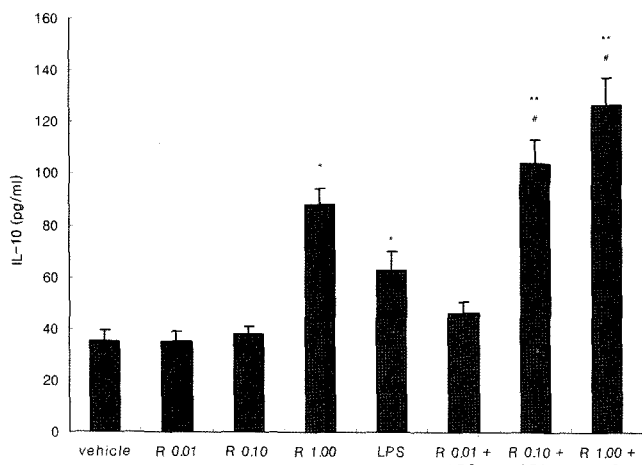
IL-6은 LPS에 의해 TNF- $\alpha$ 의 과생산과 함께 현저하게 증가되는 proinflammatory cytokine으로써, 간에서의 acute phase response를 현저히 유도하며, T 세포의 Th1로의 분화를 억제하고 Th2 세포로의 분화를 촉진하는 작용을 한다.<sup>18,19)</sup> 본 실험에서 RGMeOH가 LPS에 의해 강력히 유도된 복강 마크로파지에



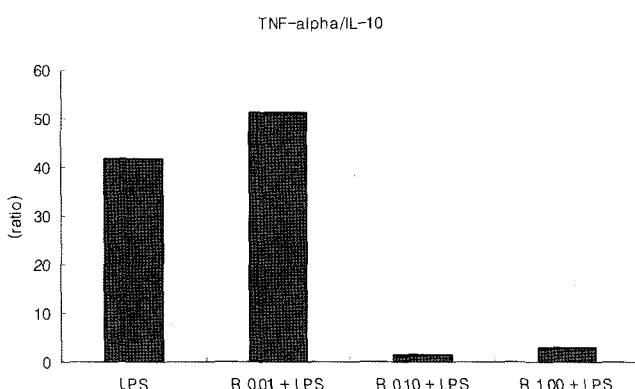
**Fig. 2 – Effect of RGMeOH on the LPS-induced production of IL-6 by macrophages.** Macrophages ( $1.0 \times 10^6$  cells/well) were incubated in the presence or absence of various RGMeOH concentration with or without 10  $\mu$ g/ml of LPS treatment for 24 h. Other legends and methods are the same as in Fig. 1. Each value represents the mean  $\pm$  S.E. \*\*( $p < 0.01$ ): Significantly different from the value in each vehicle-treated group. #( $p < 0.05$ ): Significantly different from the value in each LPS-treated group.

의한 IL-6 생산을 억제하는지 알아보기 위하여 복강 마크로파지 를 LPS로 자극하고 동시에 RGMeOH를 농도별로 처리하여 24 시간 동안 배양한 후 ELISA에 의해 IL-6 농도를 측정하였다. 그 결과, LPS에 의해 현저히 증가된 IL-6 생산은 RGMeOH 0.01 및 0.10 mg/ml 농도에 의해 변화가 거의 없었으나 고농도인 RGMeOH 1.00 mg/ml에서 10.6%까지 유의성 있게 증가되었다 (Fig. 2). LPS는 toll like receptor 4를 중재로 NF- $\kappa$ B를 활성화 시켜 염증반응에 관여하는 TNF- $\alpha$  및 IL-6 생산을 증가시킨다.<sup>20)</sup> 따라서 RGMeOH가 LPS에 의해 유도된 NF- $\kappa$ B 활성화를 억제 시켜 LPS에 의해 과생산된 TNF- $\alpha$ 는 물론 IL-6도 억제할 것으로 예상하였으나, 본 실험에서 RGMeOH가 LPS에 의해 증가된 TNF- $\alpha$  생산을 억제시켰는데 IL-6 생산에는 영향을 주지 않았다. 그러므로 RGMeOH가 LPS에 의한 IL-6 및 TNF- $\alpha$  발현 중 TNF- $\alpha$  생산과 관련된 신호전달경로에만 관여하여 IL-6 생산에 변화 없이 TNF- $\alpha$  생산을 억제할 가능성을 지니지만 이에 대한 기전이 불확실하다.<sup>20)</sup> 따라서 이와 관련된 신호전달체계의 대한 정확한 기전 규명을 위해 많은 연구가 요구된다. 또한 고용량의 RGMeOH는 LPS에 의해 유도된 IL-6 생산을 더욱 증가시켜 염증반응 물론 Th1 세포에서 Th2 세포로의 반응을 촉진시킬 것으로 사료된다.

IL-10은 Th2, 단핵구 및 마크로파지에서 생산하는 항염증성 사이토카인으로써 마크로파지 활성을 저해하고 염증성 사이토카인인 TNF- $\alpha$  및 IL-1 $\beta$ 의 생산을 억제하는 작용을 갖는다.<sup>21,22)</sup> 본 실험에서 RGMeOH가 LPS에 의해 유도된 복강 마크로파지에



**Fig. 3 – Effect of RGMeOH on the LPS-induced production of IL-10 by macrophages.** Macrophages ( $1.0 \times 10^6$  cells/well) were incubated in the presence or absence of various RGMeOH concentration with or without 10  $\mu$ g/ml of LPS treatment for 24 h. Other legends and methods are the same as in Fig. 1. Each value represents the mean  $\pm$  S.E. \* $(p < 0.05)$  and \*\* $(p < 0.01)$ : Significantly different from the value in each vehicle-treated group. # $(p < 0.05)$ : Significantly different from the value in each LPS-treated group.



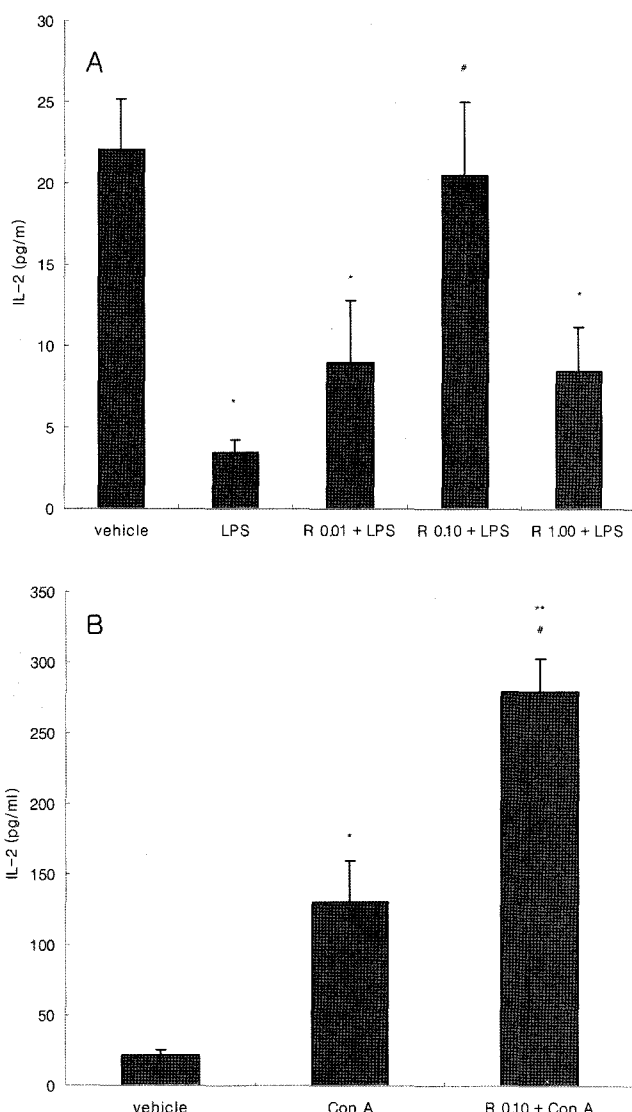
**Fig. 4 – Effect of RGMeOH on the macrophage TNF- $\alpha$ /IL-10.** Macrophages ( $1.0 \times 10^6$  cells/well) were incubated in the presence or absence of various RGMeOH concentration with or without 10  $\mu$ g/ml of LPS treatment for 24 h. TNF- $\alpha$ /IL-10 was obtained from each mean of TNF- $\alpha$  or IL-10. Other legends and methods are the same as in Fig. 1. Each value represents the mean  $\pm$  S.E.

의한 IL-10 생산을 촉진하는지 알아보기 위하여 LPS의 자극과 함께 RGMeOH를 농도별로 처리하여 24시간 동안 배양한 후 ELISA에 의해 IL-10 농도를 측정하였다. 그 결과, RGMeOH는 LPS에 의해 유도된 마크로파지의 IL-10 생산을 0.10 및 1.00 mg/ml 농도에서 각각 66.4% 및 103.2%까지 농도의존적으로 유의성 있게 증가시켰다(Fig. 3).

염증성 사이토카인과 항염증성 사이토카인과의 비율(TNF- $\alpha$ /IL-10)의 불균형은 염증반응의 정도를 보여주는데,<sup>23)</sup> LPS는 *in vivo* 및 *in vitro*에서 TNF- $\alpha$  및 IL-10의 생산은 물론 TNF- $\alpha$ /IL-10를 증가시키는 것으로 잘 알려져 있다.<sup>15)</sup> 본 실험 Fig. 4에서 보여준 바에 의하면 마크로파지의 TNF- $\alpha$ /IL-10의 비율이 LPS 단독처리 시 41.87인데 비해 LPS와 RGMeOH 동시처리에 의해 RGMeOH 0.10 및 1.00 mg/ml 농도에서 각각 1.55 및 3.02로 현저하게 감소된 수치를 나타냈다. 따라서 RGMeOH가 LPS에 의한 TNF- $\alpha$ 의 생산을 억제하고 IL-10의 생산을 증가시켜 마크로파지의 활성을 억제하고 TNF- $\alpha$ /IL-10 비율을 현저히 감소시킴으로써 항염증효과를 지닐 것으로 사료된다.

#### T 림파구의 립포카인 생산에 있어서 RGMeOH의 효과

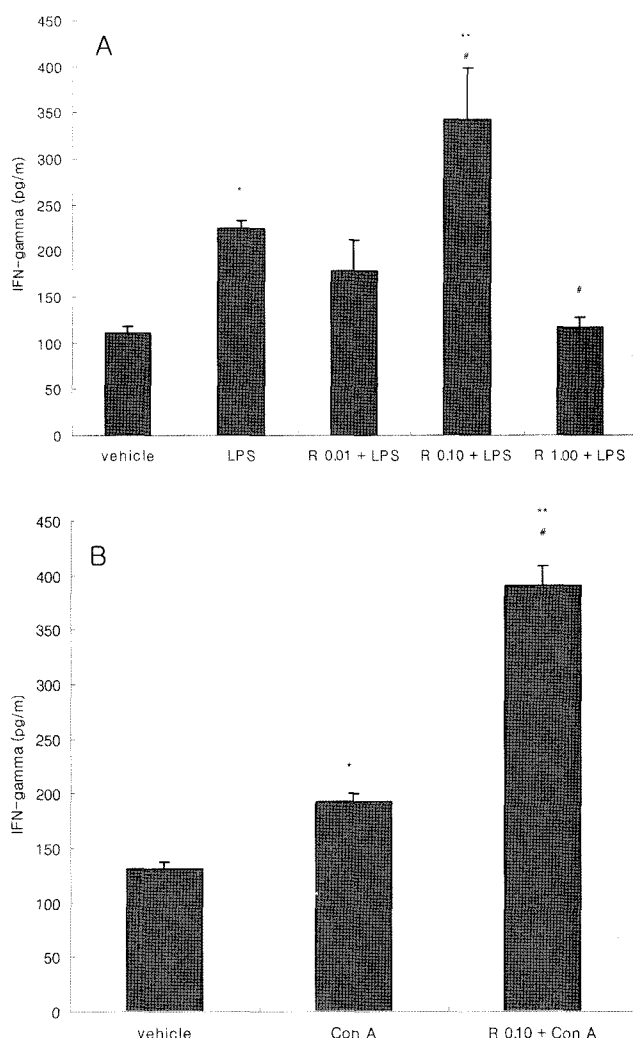
본 연구는 세포성 면역반응에 있어서 중요한 역할을 하는 Th1 세포의 면역능에 미치는 RGMeOH의 효과를 평가하기 위하여 RGMeOH의 여러 농도에서의 비장세포의 립포카인 IL-2 및 IFN- $\gamma$ 의 생산능을 측정하였다. 생쥐로부터 비장세포를 취하여 RGMeOH를 각 농도 별로 처리 한 후 LPS나 Con A로 자극하고 48시간 배양한 다음 IL-2 및 IFN- $\gamma$  농도를 측정하였다. 그 실험결과, LPS 처리에 의해 현저하게 저하된 비장세포의 IL-2 생산은 RGMeOH에 의해 농도의존적으로 정상수준까지 유의성 있게 회복되었다(Fig. 5A). 또한 Con A에 의해 유도된 비장세포의



**Fig. 5 – Effect of RGMeOH on the production of IL-2 by splenocytes.** Splenocytes ( $1.0 \times 10^6$  cells/well) from C57BL/6 mice were incubated in the presence or absence of various RGMeOH concentration with or without  $10 \mu\text{g}/\text{ml}$  of LPS (Fig. 5A) or  $1 \mu\text{g}/\text{ml}$  of Con A treatment (Fig. 5B) for 48 h. Other legends and methods are the same as in Fig. 1. Each value represents the mean  $\pm$  S.E. \* $(p < 0.05)$  and \*\* $(p < 0.01)$ : Significantly different from the value in each vehicle-treated group. # $(p < 0.05)$ : Significantly different from the value in each LPS- or Con A-treated group.

IL-2 생산은 RGMeOH  $0.10 \text{ mg}/\text{ml}$  농도에서 2배 이상으로 현저히 증가되었다(Fig. 5B). IL-2는 Th1 세포의 성장 및 분화에 있어서 중요한 역할을 한다.<sup>16)</sup> 따라서 RGMeOH는 비장세포의 IL-2의 생산을 촉진하여 Th1 세포의增식, 분화 및 기능의 활성화를 유도하여 세포성 면역능을 증진시킬 것으로 사료된다.

또한 IFN- $\gamma$ 는 IL-2와 마찬가지로 Th1 세포에서 생산되는 사이토카인으로써 마크로파지의 활성을 강력히 유도하고 natural



**Fig. 6 – Effect of RGMeOH on the production of IFN- $\gamma$  by splenocytes.** Splenocytes ( $1.0 \times 10^6$  cells/well) from C57BL/6 mice were incubated in the presence or absence of various RGMeOH concentration with or without  $10 \mu\text{g}/\text{ml}$  of LPS (Fig. 6A) or  $1 \mu\text{g}/\text{ml}$  of Con A treatment (Fig. 6B) for 48 h. Other legends and methods are the same as in Fig. 1. Each value represents the mean  $\pm$  S.E. \* $(p < 0.05)$  and \*\* $(p < 0.01)$ : Significantly different from the value in each vehicle-treated group. # $(p < 0.05)$ : Significantly different from the value in LPS- or Con A-treated group.

killer cell의 활성을 증가시켜 암의 감시 및 감염에 대한 세포성 면역효과를 증진시키며, Th2 세포의增식을 억제하여 IL-4의 생산을 저해함으로써 알레르기에 대한 보호효과를 갖는다.<sup>15)</sup> 본 실험에서 LPS 또는 Con A로 자극한 비장세포의 IFN- $\gamma$  생산은 RGMeOH  $0.10 \text{ mg}/\text{ml}$ 의 농도에서 유의성 있게 증가되었다(Fig. 6A 및 6B). 따라서 RGMeOH는 LPS 또는 Con A에 의한 비장세포의 IFN- $\gamma$  생산을 촉진시킴으로써 Th1 세포의 기능을 활성화시켜 세포성 면역을 증진시킬 것으로 사료된다.

그러나 RGMeOH  $1.00 \text{ mg}/\text{ml}$ 의 고농도에서 LPS 자극으로 저

하된 비장세포의 IL-2 생산이 유의성 있게 회복되지 못하였고, LPS로 인한 비장세포의 IFN- $\gamma$  생산은 오히려 유의성 있게 감소됨을 보여주었다. 이는 IL-10<sup>21</sup> Th1 세포의 기능을 억제하고 IL-2 및 IFN- $\gamma$  발현을 저해하며,<sup>24)</sup> IL-6은 Th1 분화를 억제하고 IFN- $\gamma$  생산을 저해한다는 연구결과<sup>25)</sup>에 따라, RGMeOH 1.00 mg/ml 고농도에서 관찰된 LPS 자극에 따른 IL-6 및 IL-10의 현저한 생산증가로 인해 Th1 세포의 분화 및 기능을 떨어뜨려 비장세포의 IL-2 및 IFN- $\gamma$ 의 생산이 감소된 것으로 사료된다.

## 결 론

본 연구에서는 복강 마크로파지의 염증성 사이토카인 생산 및 비장세포의 IL-2 및 IFN- $\gamma$ 의 생산에 미치는 RGMeOH의 영향을 관찰하였다.

그 실험결과에 의하면 LPS로 자극된 복강 마크로파지에서 RGMeOH는 0.10 및 1.00 mg/ml 농도에서 TNF- $\alpha$  생산을 강력하게 억제하였고, IL-10 생산을 농도의존적으로 현저히 증가시켰으며, 그에 따른 TNF- $\alpha$ /IL-10 비율은 현저히 감소됨을 보여주었다. 그러나 RGMeOH는 IL-6 생산을 억제하지 못하였고, 1.00 mg/ml의 고농도에서 오히려 IL-6 생산을 증가시켰다.

비장세포에서 RGMeOH는 0.10 mg/ml 농도에서 LPS나 Con A에 의한 IL-2 및 IFN- $\gamma$  생산을 촉진하였으나, 1.00 mg/ml의 고농도에서는 오히려 LPS에 의한 IL-2 및 IFN- $\gamma$  생산을 억제하였다.

따라서 RGMeOH는 TNF- $\alpha$ 의 생산을 억제하고 IL-10 생산을 증가시켜 소염효과를 지닐 것으로 사료되며, IL-2 및 IFN- $\gamma$ 의 생산을 촉진하여 세포성 면역반응을 증진시킬 것으로 기대되지만 고용량에서는 염증반응 항진 및 세포성 면역능 저하를 유도할 것으로 사료된다.

## 감사의 말씀

이 논문은 2006년 정부(교육인적자원부)의 재원으로 한국학술진흥재단의 지원을 받아 수행된 연구임(전북대학교 헬스케어기 술개발사업단).

## 문 헌

- 1) Kubo, M., Asano, T., Shiomoto, H. and Matsuda, H. : Studies on rehmnniae radix. I. Effect of 50% ethanolic extract from steamed and dried rehmnniae radix on hemorheology in arthritic and thrombocic rats. *Biol. Pharm. Bull.* **17**(9), 1282 (1994).
- 2) Tomoda, M., Miyamoto, H., Shimizu, N., Gonda, R. and Ohara, N. : Two acidic polysaccharides having reticuloendothelial system-potentiating activity from the raw root of Rehmnnia

glutinosa. *Biol. Pharm. Bull.* **17**(11), 1456 (1994).

- 3) Kiho, T., Watanabe, T., Nagai, K. and Ukai, S. : Hypoglycemic activity of polysaccharide fraction from rhizome of Rehmnnia glutinosa Libosch. f. hueichingensis Hsiao and the effect on carbohydrate metabolism in normal mouse liver. *Yakugaku Zasshi*. **112**(6), 393 (1992).
- 4) Kang, D. G., Sohn, E. J., Moon, M. K., Lee, Y. M. and Lee, H. S. : Rehmnnia glutinose ameliorates renal function in the ischemia/reperfusion-induced acute renal failure rats. *Biological & Pharmaceutical Bulletin*. **28**(9), 1662 (2005).
- 5) Yokozawa, T., Kim, H. Y. and Yamabe, N. : Amelioration of diabetic nephropathy by dried Rehmnniae Radix (Di Huang) extract. *Am. J. Chin. Med.* **32**(6), 829 (2004).
- 6) Oh, K. O., Kim, S. W., Kim, J. Y., Ko, S. Y., Kim, H. M., Baek, J. H., Ryoo, H. M. and Kim, J. K. : Effect of Rehmnnia glutinosa Libosch extracts on bone metabolism. *Clin. Chim. Acta*. **334**(1-2), 185 (2003).
- 7) Li, D. Q., Li, Y., Liu, Y., Bao, Y. M., Hu, B. and An, L. J. : Catalpol prevents the loss of CA1 hippocampal neurons and reduces working errors in gerbils after ischemia-reperfusion injury. *Toxicon*. **46**(8), 845 (2005).
- 8) Li, D. Q., Bao, Y. M., Zhao, J. J., Liu, C. P., Liu, Y. and An, L. J. : Neuroprotective properties of catalpol in transient global cerebral ischemia in gerbils: dose-response, therapeutic time-window and long-term efficacy. *Brain Res.* **1029**(2), 179 (2004).
- 9) Prieto, J. M., Recio, M. C., Giner, R. M., Manez, S., Giner-Larza, E. M. and Rios, J. L. : Influence of traditional Chinese anti-inflammatory medicinal plants on leukocyte and platelet functions. *J. Pharm. Pharmacol.* **55**(9), 1275 (2003).
- 10) Kim, H. M., An, C. S., Jung, K. Y., Choo, Y. K., Park, J. K. and Nam, S. Y. : Rehmnnia glutinosa inhibits tumour necrosis factor-alpha and interleukin-1 secretion from mouse astrocytes. *Pharmacol. Res.* **40**(2), 171 (1999).
- 11) Kim, H. M., Lee, E. H., Lee, S. J., Shin, T. Y., Kim, Y. J. and Kim, J. B. : Effect of Rehmnnia glutinosa on immediate type allergic reaction. *Int. J. Immunopharmacol.* **20**, 231 (1998).
- 12) Chen, L. Z., Feng, X. W. and Zhou, J. H. : Effects of Rehmnnia glutinosa polysaccharide b on T-lymphocytes in mice bearing sarcoma 180. *Zhongguo Yao Li Xue Bao*. **16**(4), 337 (1995).
- 13) Kubo, M., Asano, T., Matsuda, H., Yutani, S. and Honda, S. : Studies on Rehmnniae radix. III. The relation between changes of constituents and improvable effects on hemorheology with the processing of roots of Rehmnnia glutinosa. *Yakugaku Zasshi*. **116**(2), 158 (1996).
- 14) Lee, H. S., Kim, S. T. and Cho, D. K. : Effects of rehmnniae radix water extract on renal function and renin secretion rate in unanesthetized rabbits. *Am. J. Chin. Med.* **21**(2), 179 (1993).
- 15) Munoz, C., Carlet, J., Fitting, C., Misset, B., Bleriot, J. P. and

- Cavaillon, J. M. : Dysregulation of in vitro cytokine production by monocytes during sepsis. *J. Clin. Investig.* **88**, 1747 (1991).
- 16) Abbas, A. K., Murphy, K. M. and Sher, A. : Functional diversity of helper T lymphocytes. *Nature* **383**, 787 (1997).
- 17) Andersson, J., Nagy, S., Bjork, L., Abrams, J., Holm, S. and Andersson, U. : Bacterial toxin-induced cytokine production studied at the single cell level. *Immunol. Rev.* **127**, 69 (1992).
- 18) van Snick, J. : Interleukin-6: an overview. *Annu. Rev. Immunol.* **8**, 253 (1990).
- 19) Chai, Z., Gatti, S., Toniatti, C., Poli, V. and Bartfai, T. : Interleukin(IL)-6 gene expression in the central nervous system is necessary for fever response to lipopolysaccharide or IL-1 $\beta$ : a study on IL-6-deficient mice. *J. Exp. Med.* **183**, 311 (1996).
- 20) Andreakos, E., Sacre, S. M. , Smith, C., Lundberg, A., Kiriakidis, S., Stonehouse, T., Monaco, C., Feldmann, M. and Foxwell, B. M. : Distinct pathways of LPS-induced NF-kappa B activation and cytokine production in human myeloid and nonmyeloid cells defined by selective utilization of MyD88 and Mal/TIRAP. *Blood*. **103**(6), 2229 (2004).
- 21) Fiorentino, D. F., Zlotnik, A., Mosmann, T. R., Howard, M. and O'Garra, A. : IL-10 inhibits cytokine production by activated macrophages. *J. Immunol.* **147**(11), 3815 (1991).
- 22) Bogdan, C., Vodovotz, Y. and Nathan, C. : Macrophage deactivation by interleukin 10. *J. Exp. Med.* **174**, 1549 (1991).
- 23) Volk, H. D., Reinke, P. and Docke, W. D. : Balance between pro- and anti-inflammatory mediators Immunological monitoring of the inflammatory process: which variables? When to assess? *Eur. J. Surg.* **584**, 70 (1999).
- 24) Fiorentino, D. F., Bond, M. W. and Mosmann, T. R. : Two types of mouse T helper cell. IV. Th2 clones secrete a factor that inhibits cytokine production by Th1 clones. *J. Exp. Med.* **170**(6), 2081 (1989).
- 25) Diehl, S., Anguita, J., Hoffmeyer, A., Zapton, T., Ihle, J. N., Fikrig, E. and Rincon, M. : Inhibition of Th1 differentiation by IL-6 is mediated by SOCS1. *Immunity*. **13**(6), 805 (2000).